

# **Samosila i gravitacijski valovi**

Maja Milas

mentor izv. prof. dr. sc. Ivica Smolić

# Sadržaj

**01** **Opća teorija relativnosti**

**02** **Samosila i gravitacijski valovi**

**03** **Rigorozan izvod samosile**

**04** **Zaključak i dodaci**

# Notacija i konvencije

- grčki indeksi  $\mu, \nu, \dots$  = komponente 4-vektora i tenzora
  - latinski indeksi  $i, j, \dots$  = prostorne komponente
  - $0$  = vremenska komponenta
  - latinski indeksi  $a, b, \dots$  = apstraktni prostornovremenski indeksi
- 
- metrika Minkowskog  $\eta_{ab}$ , potpis  $(-1, 1, 1, 1)$
  - prirodne jedinice  $c = 1$

# 01

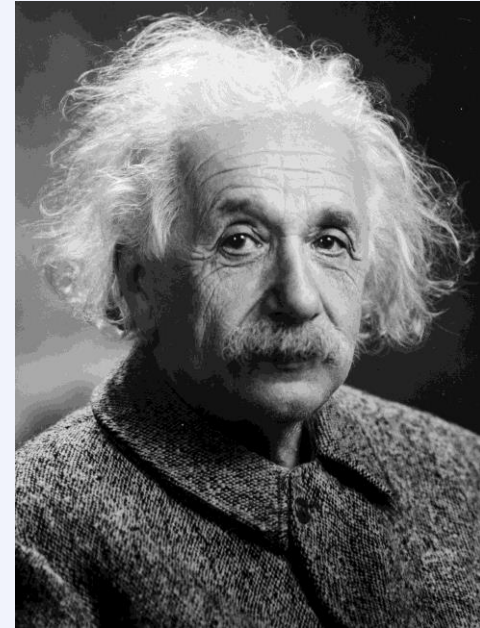
## Opća teorija relativnosti

# Einsteinova jednadžba

$$R_{\mu\nu} - \frac{1}{2} R g_{\mu\nu} = 8\pi G T_{\mu\nu}$$

## OTR

- poopćenje Newtonove teorije gravitacije
- gravitacijska sila je **fundamentalno** svojstvo prostora



Slika 1. Albert Einstein

# **Nova ideja**

*U općoj teoriji relativnosti tvar i energija zakrivljuju prostorvrijeme, a zakrivljeno prostorvrijeme uvjetuje njihovo gibanje i izmjenu.*

# Einsteinova jednadžba

$$\nabla^2 \Phi = 4\pi G\rho$$

$$R_{\mu\nu} - \frac{1}{2} R g_{\mu\nu} = 8\pi G T_{\mu\nu}$$

Riccijev tenzor  
(‘derivacija’)

$$R = g^{\mu\nu} R_{\mu\nu}$$

metrika koja opisuje  
zakrivljenost prostovremena  
(‘potencijal’)

tenzor energije i  
impulsa (‘gustoća  
materije’)

Newton

# Einsteinova jednadžba

$$\nabla^2 \Phi = 4\pi G\rho$$

$$R_{\mu\nu} - \frac{1}{2} R g_{\mu\nu} = 8\pi G T_{\mu\nu}$$

$$\equiv G_{\mu\nu} [g]$$

Einsteinov tenzor

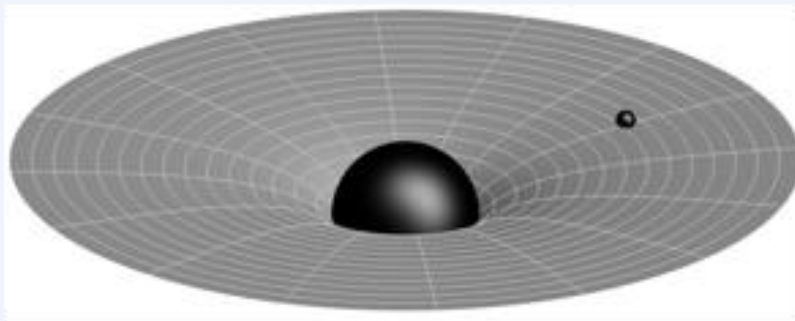
$$R = g^{\mu\nu} R_{\mu\nu}$$

02

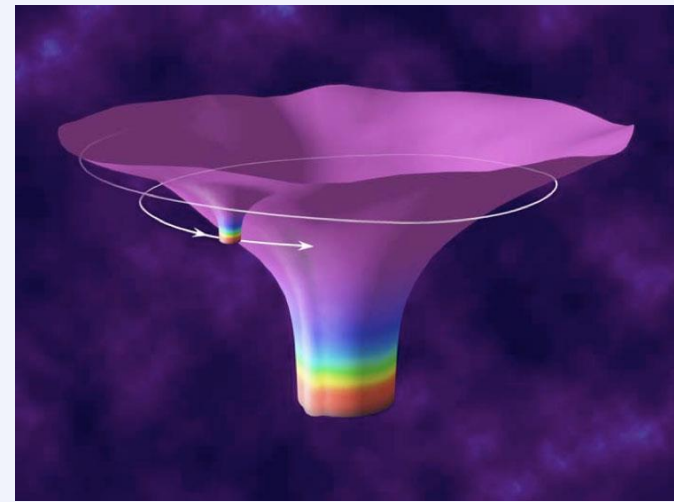
# Samosila i gravitacijski valovi

# Samosila

- sila kojom tijelo djeluje samo na sebe (vlastitim poljem)
- EMRI = „extreme-mass-ratio-inspiral”



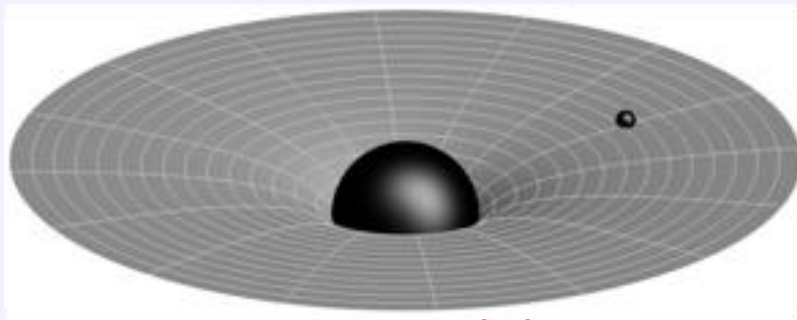
Slika 2. EMRI sustav



Slika 3. Potencijal u EMRI sustavu

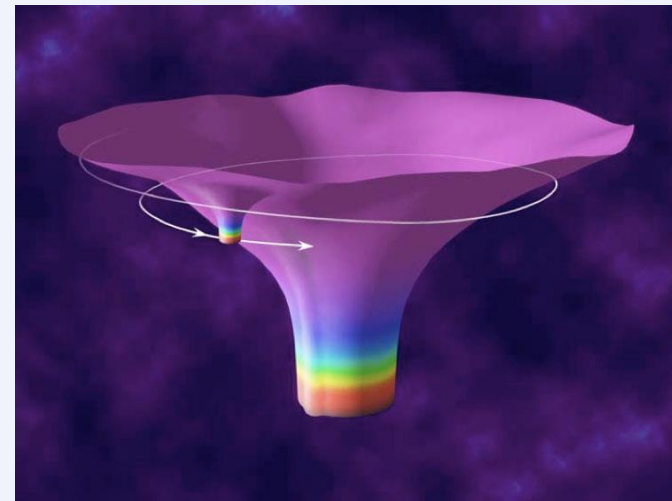
# Samosila

- sila kojom tijelo djeluje samo na sebe (vlastitim poljem)
- EMRI = „extreme-mass-ratio-inspiral”



Slika 2. EMRI sustav

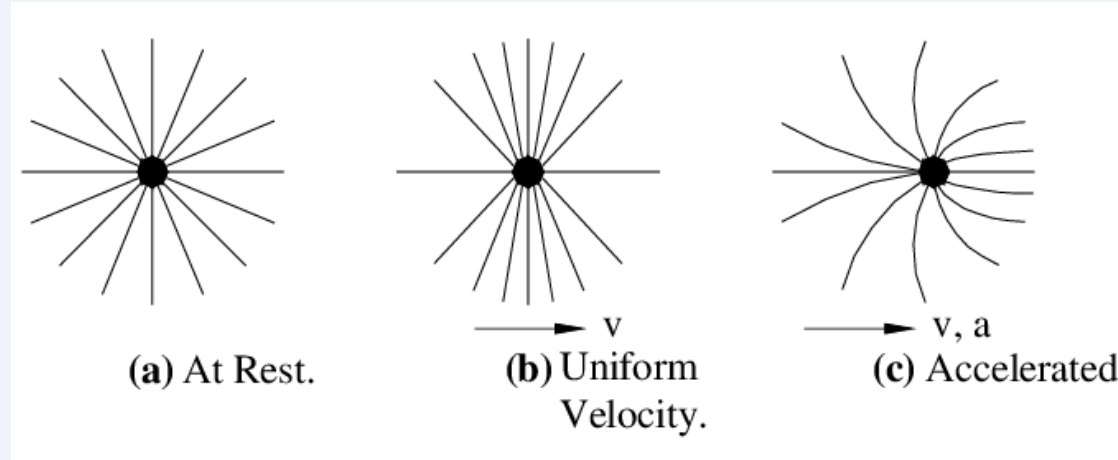
➤ gravitacijski  
valovi



Slika 3. Potencijal u EMRI sustavu

# Samosila u elektromagnetizmu

- statičan naboj možemo tretirati kao testni  $\rightarrow$  djeluju samo vanjska polja
- akcelerirani naboј

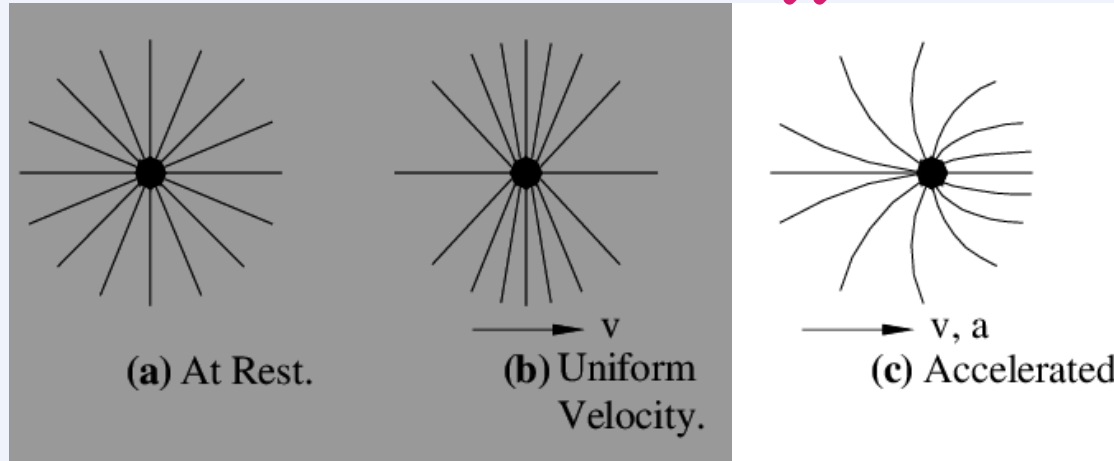


Slika 4. Polje točkastog naboja

# Samosila u elektromagnetizmu

- statičan naboj možemo tretirati kao testni  $\rightarrow$  djeluju samo vanjska polja
- akcelerirani naboј

» EM valovi



Slika 4. Polje točkastog naboja

# Aproksimacija točkastog tijela

- Einsteinova jednadžba nije linearna
- promatramo EMRI sustav (malo tijelo mase  $m$ )

$$g_{\mu\nu} = q_{\mu\nu} + \epsilon h_{\mu\nu}^{(1)} + \epsilon^2 h_{\mu\nu}^{(2)} + O(\epsilon^3)$$

pozadinska metrika

gravitacijske perturbacije



# Aproksimacija točkastog tijela

- Einsteinova jednadžba nije linearna
- promatramo EMRI sustav (malo tijelo mase  $m$ )

$$g_{\mu\nu} = q_{\mu\nu} + \epsilon h_{\mu\nu}^{(1)} + \epsilon^2 h_{\mu\nu}^{(2)} + O(\epsilon^3)$$

$$T_{\mu\nu} = \epsilon T_{\mu\nu}^{(1)} + \epsilon^2 T_{\mu\nu}^{(2)} + O(\epsilon^3)$$



Einsteinova jd.

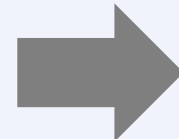
$$G_{\mu\nu}[g] = 8\pi T_{\mu\nu}$$

# Aproksimacija točkastog tijela

- Einsteinova jednadžba nije linearna
- promatramo EMRI sustav (malo tijelo mase  $m$ )

$$g_{\mu\nu} = q_{\mu\nu} + \epsilon h_{\mu\nu}^{(1)} + \epsilon^2 h_{\mu\nu}^{(2)} + O(\epsilon^3)$$

$$T_{\mu\nu} = \epsilon T_{\mu\nu}^{(1)} + \epsilon^2 T_{\mu\nu}^{(2)} + O(\epsilon^3)$$



Einsteinova jd.

$$G_{\mu\nu}[g] = 8\pi T_{\mu\nu}$$

1

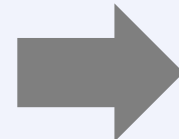
$$\delta G_{\mu\nu}[h^{(1)}] = 8\pi T_{\mu\nu}^{(1)}$$

# Aproksimacija točkastog tijela

- Einsteinova jednadžba nije linearna
- promatramo EMRI sustav (malo tijelo mase  $m$ )

$$g_{\mu\nu} = q_{\mu\nu} + \epsilon h_{\mu\nu}^{(1)} + \epsilon^2 h_{\mu\nu}^{(2)} + O(\epsilon^3)$$

$$T_{\mu\nu} = \epsilon T_{\mu\nu}^{(1)} + \epsilon^2 T_{\mu\nu}^{(2)} + O(\epsilon^3)$$



Einsteinova jd.

$$G_{\mu\nu}[g] = 8\pi T_{\mu\nu}$$

1

$$\delta G_{\mu\nu}[h^{(1)}] = 8\pi T_{\mu\nu}^{(1)}$$

2

$$\delta G_{\mu\nu}[h^{(2)}] = 8\pi T_{\mu\nu}^{(2)} - \delta^2 G_{\mu\nu}[h^{(1)}]$$

# Aproksimacija točkastog tijela

2

$$\delta G_{\mu\nu}[h^{(2)}] = 8\pi T_{\mu\nu}^{(2)} - \underbrace{\delta^2 G_{\mu\nu}[h^{(1)}]}_{}$$

sadrži kvadratne članove  $h_{\mu\nu}^{(1)}$  koji se  
ponašaju  $\propto m^2/r^4$  u blizini tijela  $m$



NIJE  
INTEGRABILNO!

# MiSaTaQuWa jednadžbe

- trenutno najbolji opis gibanja „malog tijela” u OTR-u (uzimaju prvi red korekcije zbog samosile)
- tenzor energije i impusla točkastog izvora

$$T_{\mu\nu}^{(1)} = mu_a(t)u_b(t) \frac{\delta^{(3)}(x^i - z^i(t))}{\sqrt{-g}} \frac{d\tau}{dt}$$

- Lorentzovo baždarenje

$$\nabla^b \tilde{h}_{ab} = 0 \quad \tilde{h}_{ab} \equiv h_{ab} - \frac{1}{2}h g_{ab}$$

# MiSaTaQuWa jednadžbe

- trenutno najbolji opis gibanja „malog tijela” u OTR-u (uzimaju prvi red korekcije zbog samosile)
- tenzor energije i impusla točkastog izvora

$$T_{\mu\nu}^{(1)} = mu_a(t)u_b(t) \frac{\delta^{(3)}(x^i - z^i(t))}{\sqrt{-g}} \frac{d\tau}{dt}$$

- Lorentzovo baždarenje

$$\nabla^b \tilde{h}_{ab} = 0 \quad \tilde{h}_{ab} \equiv h_{ab} - \frac{1}{2}h g_{ab}$$

- svjetska linija

$$x^i(t) = z^i(t)$$

želimo korekciju  
na geodezik!

$\gamma$

$u_a$

# MiSaTaQuWa jednadžbe

- uvrštavamo u 1. red Einsteinove jednadžbe

$$\delta G_{\mu\nu}[h^{(1)}] = 8\pi T_{\mu\nu}^{(1)}$$

$$\nabla^c \nabla_c \tilde{h}_{ab} - 2R^c{}_{ab}{}^d \tilde{h}_{cd} = -16\pi m u_a(t) u_b(t) \frac{\delta^{(3)}(x^i - z^i(t))}{\sqrt{-g}} \frac{d\tau}{dt}$$

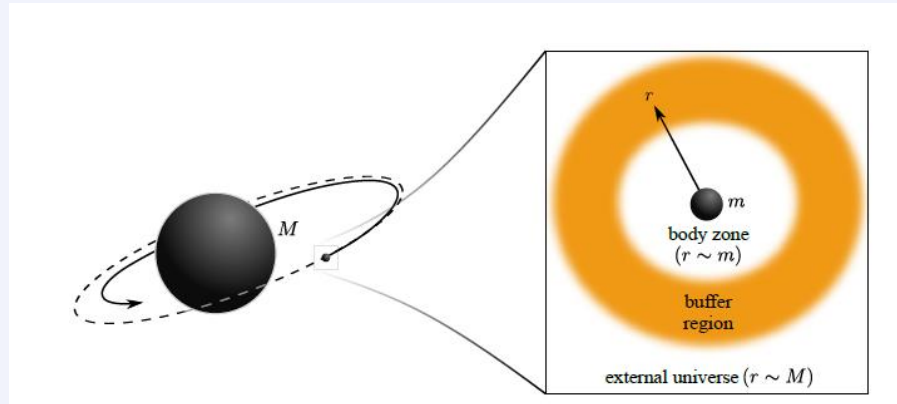
- međutim, ako želimo dobiti negeodetska gibanja, moramo relaksirati Lorentzovo baždarenje  
... sustav više nije ekvivalentan Einsteinovom

$\gamma$

$u_a$

# Usporedba asimptotskih razvoja

- $g_{\mu\nu}(\lambda)$  = glatka jednoparametarska familija metrika koja se skuplja u nulu za  $\lambda \rightarrow 0$
- blisko područje (eng. „near-zone”) i daleko područje (eng. „far-zone”)



Slika 5. Područja asimptotskog razvoja za EMRI

# Usporedba asimptotskih razvoja

- CILJ: korekcija na svjetsku liniju  $\gamma$  zbog samosile
  - korekcija opisana vektorskim poljem  $Z^i$  = infinitezimalni pomak
  - $M$  je masa, a  $S$  spin **malog** tijela

$$\frac{d^2 Z^i}{dt^2} = \frac{1}{2M} S^{kl} R_{kl0}{}^i - R_{0j0}{}^i Z^j - \left( h^{tail}{}^i_{0,0} - \frac{1}{2} h^{tail}{}_{00}{}^i \right)$$

# 03

## Rigozoran izvod gravitacijske samosile

Prepostavke i ključne ideje izvoda iz [2]

# Pretpostavke

- glatka, jednoparametarska familija metrika  $g_{ab}(\lambda)$  u kojoj se prisutno tijelo skuplja u dimenziju nula na samosličan način

## (i) Postoji prirodni limes

$g_{ab}(\lambda)$  je takva da postoje koordinate  $x^\alpha$  takve da je  $g_{\mu\nu}(\lambda, x^\alpha)$  glatka u  $(\lambda, x^\alpha)$  barem za  $r > \lambda \bar{R}$  (gdje je  $r \equiv \sqrt{x_i x^i}$ , a  $\bar{R}$  konstanta).

Za svaki  $\lambda$  i  $r > \lambda \bar{R}$ ,  $g_{ab}(\lambda)$  je rješenje vakuumskog Einsteinove jednadžbe.

Nadalje,  $g_{\mu\nu}(\lambda, = 0 x^\alpha)$  je glatka u  $x^\alpha$ , uključujući  $r = 0$ , te je za  $\lambda = 0$  krivulja  $\gamma$  definirana s  $r = 0$  vremenskog tipa.

# Pretpostavke

- glatka, jednoparametarska familija metrika  $g_{ab}(\lambda)$  u kojoj se prisutno tijelo skuplja u dimenziju nula na samosličan način

## (ii) Postoji skalirani limes

Za svaki  $t_0$ , definiramo

$$\bar{t} \equiv \frac{t - t_0}{\lambda} \quad \bar{x}^i \equiv \frac{x^i}{\lambda}$$

te je metrika  $\bar{g}_{\bar{\mu}\bar{\nu}}(\lambda; t_0, \bar{x}^\alpha) \equiv \lambda^{-2} g_{\bar{\mu}\bar{\nu}}(\lambda; t_0, \bar{x}^\alpha)$  glatka u  $(\lambda; t_0; \bar{x}^\alpha)$  za  
 $\bar{r} \equiv r/\lambda > \bar{R}$ .

# Pretpostavke

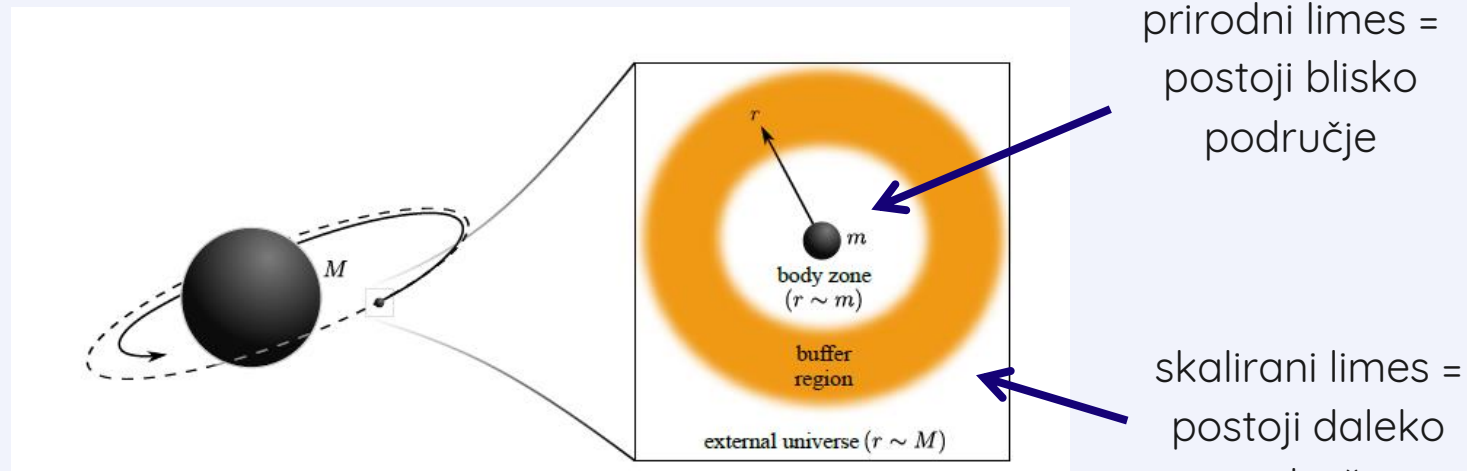
- pretpostavke (i) i (ii) ne određuju potpuno  $g_{ab}(\lambda)$  (mogu se pojaviti diskontinuiteti)

## (iii) Uvjet uniformnosti

Svaka komponenta  $g_{ab}(\lambda)$  u koordinatama  $x^\alpha$  je glatka funkcija u svim varijablama.

# Korespondencija pojmove

- pretpostavke (i) i (ii) ne određuju potpuno  $g_{ab}(\lambda)$  (mogu se pojaviti diskontinuiteti)



Slika 5. Područja asimptotskog razvoja za EMRI

# Posljedice: asimptotski ravna pozadina

- Taylorov razvoj  $g_{ab}(\lambda)$  i  $\bar{g}_{\bar{a}\bar{b}}(\lambda)$  do konačnih redova N i M s istim koeficijentima u razvoju
- za pozadinsku metriku dobivamo

$$\bar{g}_{\bar{a}\bar{b}}(\lambda = 0; t_0; \bar{t}, \bar{r}, \theta, \varphi) = \sum_{m=0}^M \left(\frac{1}{\bar{r}}\right)^m (a_{\mu\nu})_{0m}(t_0; \theta, \varphi)$$

# Posljedice: asimptotski ravna pozadina

- Taylorov razvoj  $g_{ab}(\lambda)$  i  $\bar{g}_{\bar{a}\bar{b}}(\lambda)$  do konačnih redova N i M s istim koeficijentima u razvoju
- za pozadinsku metriku dobivamo

$$\bar{g}_{\bar{a}\bar{b}}(\lambda = 0; t_0; \bar{t}, \bar{r}, \theta, \varphi) = \sum_{m=0}^M \underbrace{\left(\frac{1}{\bar{r}}\right)^m}_{\text{nema ovisnosti o } \bar{t} \text{ i samo negativne potencije } \bar{r}} \underbrace{(a_{\mu\nu})_{0m}(t_0; \theta, \varphi)}$$

# Posljedice: geodezik i aproksimacija točkaste čestice

- BSO možemo izborom koordinata metriku izraziti kao

$$g_{\alpha\beta} = \eta_{\alpha\beta} + O(r) + \lambda h_{\alpha\beta} + O(\lambda^2) \quad h_{\alpha\beta} = \frac{c_{\alpha\beta}(t, \theta, \varphi)}{r} + O(1)$$

# Posljedice: geodezik i aproksimacija točkaste čestice

- BSO možemo izborom koordinata metriku izraziti kao

$$g_{\alpha\beta} = \eta_{\alpha\beta} + O(r) + \lambda h_{\alpha\beta} + O(\lambda^2)$$

$$h_{\alpha\beta} = \frac{c_{\alpha\beta}(t, \theta, \varphi)}{r} + O(1)$$

- uvrštavamo u prvi red lineariziranih Einsteinovih jednadžbi i primjenjujemo Bianchijev identitet  $\nabla^a G_{ab}^{(1)} = 0$
- za  $M \neq 0$

$$T_{ab} = M u_a u_b \frac{\delta^{(3)}(x^i)}{\sqrt{-g}} \frac{d\tau}{dt}$$

4-brzina  $\gamma$  koja  
mora biti geodezik

# Opis gibanja do prvog reda u $\lambda$

- što je perturbativna korekcija za  $\lambda > 0$ ?

$$x^i(\lambda, t) = \lambda Z^i(t) + O(\lambda^2) \quad Z^0 = 0$$

- ovisi o izboru baždarenja

$$x^\mu \rightarrow \hat{x}^\mu = x^\mu - \lambda A^\mu(x^\nu) + O(\lambda^2)$$

$$Z^i(t) \rightarrow \hat{Z}^i(t) = Z^i(t) - A^i(t, x^j = 0)$$

- maseni dipolni moment je nula za  $\hat{x}^i = 0$
- center mase  $\hat{x}^i = 0$

# Opis gibanja do prvog reda u $\lambda$

- što je perturbativna korekcija za  $\lambda > 0$ ?

$$x^i(\lambda, t) = \lambda Z^i(t) + O(\lambda^2) \quad Z^0 = 0$$

- ovisi o izboru baždarenja

$$x^\mu \rightarrow \hat{x}^\mu = x^\mu - \lambda A^\mu(x^\nu) + O(\lambda^2)$$

$$Z^i(t) \rightarrow \hat{Z}^i(t) = Z^i(t) - A^i(t, x^j = 0)$$

- maseni dipolni moment je nula za  $\hat{x}^i = 0$
- center mase  $\hat{x}^i = 0$

$$\left. \begin{array}{l} \hat{x}^i = 0 \\ \hat{Z}^i(t) = 0 \end{array} \right\}$$

želimo općenitu  
jednadžbu za  $Z^i$

# Opis gibanja do prvog reda u $\lambda$

- rješavamo linearizirane Einsteinove jednadžbe do 2. reda ...
- korekcija na svjetsku liniju  $\gamma$  zbog samosile
  - $Z^i$  = infinitezimalni pomak
  - $M$  je masa, a  $S$  spin malog tijela

$$\frac{d^2 Z^i}{dt^2} = \frac{1}{2M} S^{kl} R_{kl0}{}^i - R_{0j0}{}^i Z^j - \left( h^{tail}{}^i_{0,0} - \frac{1}{2} h^{tail}{}_{00}{}^{,i} \right)$$

$$h_{ab}^{tail}(x) = M \int_{-\infty}^{\tau_{ret}} (G_{aba'b'}^+ - \frac{1}{2} g_{ab} G_{ca'b'}^{+c})(x, z(\tau')) u^{a'} u^{b'} d\tau'$$

# Opis gibanja do prvog reda u $\lambda$

- rješavamo linearizirane Einsteinove jednadžbe do 2. reda ...
- korekcija na svjetsku liniju  $\gamma$  zbog samosile
  - $Z^i$  = infinitezimalni pomak
  - $M$  je masa, a  $S$  spin malog tijela

$$\frac{d^2 Z^i}{dt^2} = \frac{1}{2M} S^{kl} R_{kl0}{}^i - R_{0j0}{}^i Z^j - \left( h^{tail}{}^i_{0,0} - \frac{1}{2} h^{tail}{}_{00}{}^{,i} \right)$$

„spinska sila“

„devijacija  
geodezika“

samosila!

# 04

## Zaključak i dodaci

# Zaključak

- pretpostavili isključivo (i)-(iii) i dobili korekciju
- ovaj pristup ne daje dobar globalni opis
  - traži se samo-konzistentna diferencijalna jednadžba
- EMRI sustavi – MiSaTaQuWa jednadžbe

# Hvala na pažnji!

CREDITS: This presentation template was created by [Slidesgo](#), and includes icons by [Flaticon](#), and infographics & images by [Freepik](#)

# Dodatak: motivacija za limese

- jednoparametarska familija izgrađena iz Schwarzschild-de Sitterove metrike
- limes ovisi o načinu identifikacije točaka na mnogostrukosti

$$ds^2(\lambda) = - \left(1 - \frac{2M_0\lambda}{r} - C_0 r^2\right) dt^2 + \left(1 - \frac{2M_0\lambda}{r} - C_0 r^2\right)^{-1} dr^2 + r^2 d\Omega^2$$

# Dodatak: motivacija za limese

- $(t, r, \theta, \varphi)$  de Sitterovo prostorvrijeme

$$ds^2(\lambda = 0) = -(1 - C_0 r^2) dt^2 + (1 - C_0 r^2)^{-1} dr^2 + r^2 d\Omega^2$$

- $\bar{t}, \bar{r}$   $\bar{g}_{\bar{\mu}\bar{\nu}} = \lambda^{-2} g_{\bar{\mu}\bar{\nu}}$  Schwarzschildovo prostorvrijeme

$$d\bar{s}^2(\lambda = 0) = -\left(1 - \frac{2M_0}{\bar{r}}\right) d\bar{t}^2 + \left(1 - \frac{2M_0}{\bar{r}}\right)^{-1} d\bar{r}^2 + \bar{r}^2 d\Omega^2$$

$$\lambda \rightarrow 0$$

# Literatura

## Članci (najvažniji)

- [1] Leor Barack i Adam Pound. "Self-force and radiation reaction in general relativity". Reports on Progress in Physics 82.1 (2018.)
- [2] Samuel E Gralla i Robert M Wald. " A rigorous derivation of gravitational self-force". Classical and Quantum Gravity

## Slike

- Slika 1. [https://hr.wikipedia.org/wiki/Albert\\_Einstein](https://hr.wikipedia.org/wiki/Albert_Einstein)
- Slike 2. i 3. [https://en.wikipedia.org/wiki/Extreme\\_mass\\_ratio\\_inspiral](https://en.wikipedia.org/wiki/Extreme_mass_ratio_inspiral)
- Slika 4. [https://www.researchgate.net/figure/Electric-Field-of-a-Charged-Particle\\_fig2\\_2177605](https://www.researchgate.net/figure/Electric-Field-of-a-Charged-Particle_fig2_2177605)
- Slika 5. [1]